

## GENERATORE EP 601

**MODULAZIONE**

**FREQUENZA**



- Campo di frequenza di media frequenza: 9-12 MHz ●
- Campo di frequenza di alta frequenza: 80 110-MHz ●
- Modulazione di frequenza:  $\pm 300$  KHz a frequenza di rete e  $\pm 70$  KHz con segnale esterno ●

**UNA**

APPARECCHI RADIOELETTRICI  
MILANO

S.p.A. - VIA COLA DI RIENZO 53A - TEL. 474060-474105 - C.C. 395672 -



Uff. Pubbl. Radioconi

# RADIOCONI

# L'antenna

RADIOTECNICA E TECNICA ELETTRONICA

4

APRILE 1951

XXIII ANNO DI PUBBLICAZIONE

Proprietaria ..... EDITRICE IL ROSTRO S. a R. L.  
 Comitato Direttivo:  
 prof. dott. Edoardo Amaldi - dott. ing. Cesare Borsa.elli - dott. ing. Antonio Cannas - dott. Fausto de Gaetano - ing. Marino della Rocca - dott. ing. Leandro Dobner - dott. ing. Giuseppe Gaiani - dott. ing. Camillo Jacobacci - dott. ing. Gaetano Mannino Patanè - dott. ing. G. Monti Guarnieri - dott. ing. Antonio Nicolich - dott. ing. Sandro Novellone - dott. ing. Donato Pellegrino - dott. ing. Celio Pontello - dott. ing. Giovanni Rochat - dott. ing. Almerigo Saitz - dott. ing. Franco Simonini - dott. ing. Ernesto Viganò  
 Direttore responsabile ..... Leonardo Bramanti  
 Direttore amministrativo ..... Donatello Bramanti  
 Direttore pubblicitario ..... Alfonso Giovene  
 Consigliere tecnico ..... Giuseppe Ponzone

Direzione, Redazione, Amministrazione e Uffici Pubblicitari:  
 VIA SENATO, 24 - MILANO - TELEFONO 70-29-08 - C.C.P. 3/24227

La rivista di radiotecnica e tecnica elettronica «l'antenna» si pubblica mensilmente a Milano. Un fascicolo separato costa L. 250; l'abbonamento annuo per tutto il territorio della Repubblica L. 2500 più 50 (2% imposta generale sull'entrata); estero L. 5000 più 100. Per ogni cambiamento di indirizzo inviare L. 50, anche in francobolli.

Tutti i diritti di proprietà artistica e letteraria sono riservati per tutti i paesi. La riproduzione di articoli e disegni pubblicati ne «l'antenna» è permessa solo citando la fonte.

La collaborazione dei lettori è accettata e compensata. I manoscritti non si restituiscono per alcun motivo anche se non pubblicati. La responsabilità tecnica scientifica di tutti i lavori firmati spetta ai rispettivi autori, le opinioni o le teorie dei quali non impegnano la Direzione.

**In questo fascicolo:**

LA SINCRONIZZAZIONE DELL'IMMAGINE (parte settima), A. Nicolich	65
TELEVISIONE E CULTURA	67
RICETRASMETTITORE PONTE RADIO, G. Nicolao	69
PERDITE NEI CONDENSATORI E NELLE INDUTTANZE, T. Maglietta	72
I VANTAGGI DELLA RICERCA SCIENTIFICA APPLICATA	75
SISTEMA ECONOMICO PER TRASFORMARE UN NORMALE OHMETRO IN UN VOLTMETRO ELETTRONICO, R. Taradel e S. Roselli	74
SURPLUS... IL RICEVITORE PROFESSIONALE UKW, R. Biancheri	77
IL GENERATORE «SUPREME» 561, a cura di iJK	79
RISCALDAMENTO A RF, C. De Blasi	81
UNA NUOVA APPLICAZIONE DEI GENERATORI FM, R. Biancheri	84
PARLATO E MUSICA, R. Biancheri	85

**APPARECCHI PER LA RICEZIONE IN MODULAZIONE DI FREQUENZA (MF)**

QUADRI UNDA 104/1 per MA e MF

SINTONIZZATORE MONO UNDA A 51/1

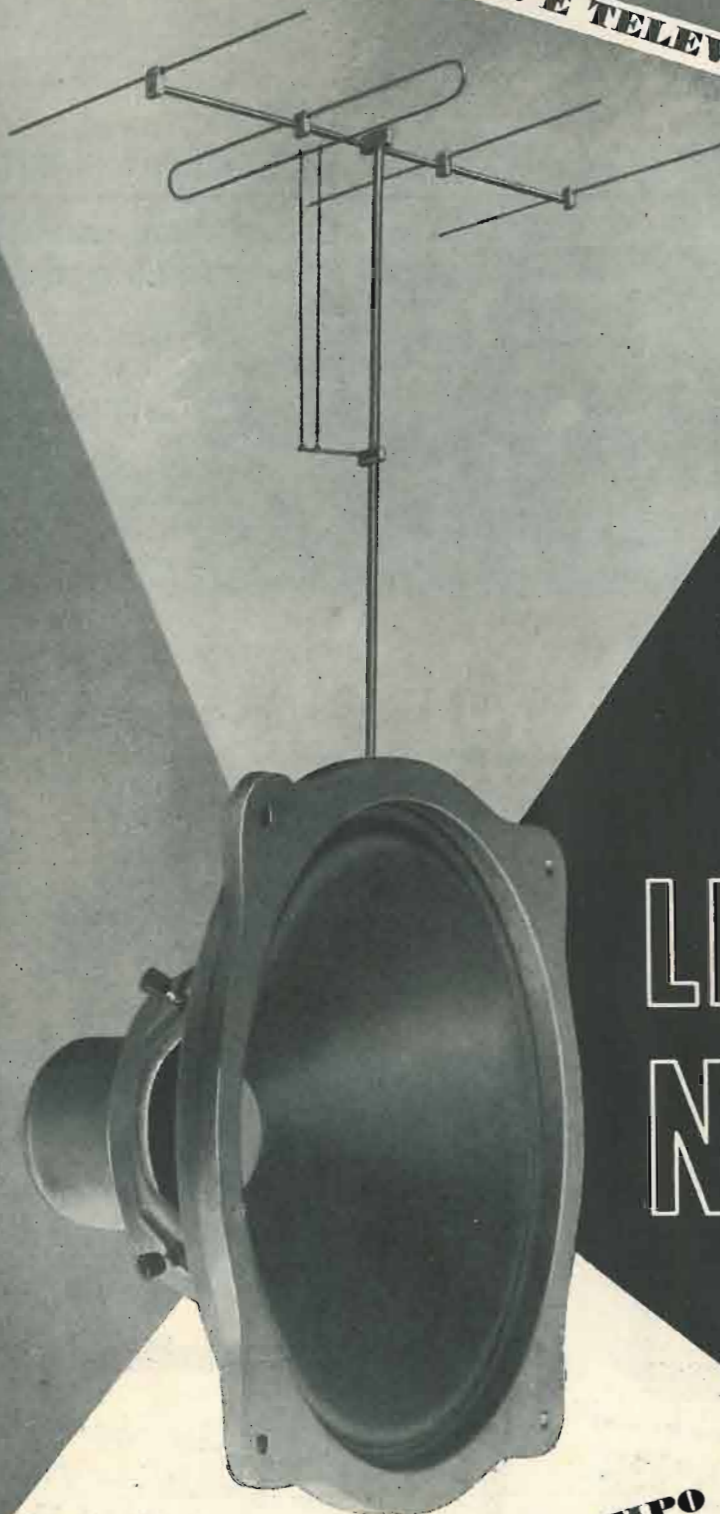
## UNDA radio

presenta i suoi apparecchi per la ricezione del III° PROGRAMMA R.A.I.

Rapp. Generale:  
**TH. MOHWINCKEL - MILANO**

ANTENNE PER F. M. E TELEVISIONE

SR



LIONELLO  
NAPOLI

ALTOPARLANTI DI OGNI TIPO

Uff. Pubbl. "l'antenna,"

# l'antenna

RADIOTECNICA E TECNICA ELETTRONICA

## LA SINCRONIZZAZIONE DELL'IMMAGINE

ANTONIO NICOLICH

(PARTE SETTIMA)

### LA SINCRONIZZAZIONE VERTICALE

#### 2) Proprietà della sincronizzazione verticale

Si è visto al paragrafo precedente (\*) come, applicando all'ingresso di un circuito differenziatore di piccola costante di tempo rispetto alla durata degli impulsi orizzontali, il segnale sincro completo, si ottenga una forma d'onda a guizzi opportuna per il pilotaggio del generatore di deviazione di linea. Analogamente, applicando lo stesso segnale sincro all'ingresso di un circuito integratore di costante di tempo grande rispetto alla durata degli impulsi orizzontali, ma minore della durata degli impulsi completi di sincronizzazione verticale, è possibile ottenere all'uscita una forma d'onda grossolanamente triangolare opportuna per il pilotaggio del generatore di deviazione di trama. Assumendo in fig. 20:  $R = 50 \text{ kohm}$ ,  $C = 2 \text{ m}\mu\text{F}$ , si ha per la costante di tempo  $RC$  il valore di  $100 \mu\text{S}$  che è grande rispetto alla durata di  $5,1$  e  $2,55 \mu\text{S}$  degli impulsi orizzontali ed egualizzatori rispettivamente, mentre è piccolo rispetto alla durata di  $190,5 \mu\text{S}$  degli impulsi verticali, composti ciascuno di  $6$  impulsi di durata  $27,3 \mu\text{S}$  ed intervallati di  $4,45 \mu\text{S}$  tra loro. Il comportamento del circuito è rappresentato nella fig. 20 stessa, ed è il seguente: quando all'ingresso del circuito integratore viene applicato un normale impulso orizzontale (segnato 1 in fig. 20, in alto) di durata  $5,1 \mu\text{S}$ , il condensatore assume una piccola carica corrispondente a circa il 5% della tensione applicata (v. fig. 13 b) quindi una tensione  $v_c$  appare all'uscita del circuito. Nell'intervallo di  $58,4 \mu\text{S}$  intercedente tra gli impulsi 1 e 2, il condensatore si scarica quasi completamente, per cui si può ritenere che la tensione alle sue armature si riduca al piccolo valore che aveva all'inizio dell'impulso 1. L'incidenza dell'impulso orizzontale 2 provoca la stessa carica precedente di circa il 5% della tensione applicata. Cessato l'impulso 2 il condensatore inizia nuovamente a scaricarsi, ma dopo  $26,25 \mu\text{S}$ , cioè a mezza linea dall'inizio dell'impulso 2, interviene il primo impulso egualizzatore 2'; questo fatto comporta che il condensatore cessa la sua scarica ad una tensione sensibilmente più alta di quella esistente all'inizio del ciclo, e riceve un nuovo impulso caricante per la durata di  $2,55 \mu\text{S}$  dell'impulso egualizzatore. La carica conseguente è di pochi % della tensione applicata. Nell'intervallo di  $29,2 \mu\text{S}$  che segue, tra la fine dell'impulso 2' e l'inizio dell'impulso 3, il condensatore si scarica all'incirca al valore di tensione esistente all'inizio di 2'. Il fenomeno si ripete con lo stesso andamento per gli impulsi applicati 3', 4, 4' e 5. L'arrivo del 1° impulso largo verticale 5' di durata  $27,3 \mu\text{S}$  provoca una carica supplementare del 27,3% della tensione all'entrata (v. ancora fig. 13 b). Il condensatore si scarica per il tempo di  $4,45 \mu\text{S}$  per

gli impulsi larghi 5' e 6, tempo in cui non è applicata nessuna tensione all'ingresso del circuito integratore; la scarica è però molto modesta per la breve durata delle divisioni tra gli impulsi larghi. Il secondo impulso largo 6' trova quindi il condensatore già sensibilmente caricato e gli comunica una nuova carica analoga a quella fornitagli dall'impulso 5'.

Alla fine dell'impulso 6 la carica è quasi raddoppiata rispetto alla fine del 5'. Segue una piccola trascurabile scarica e il fenomeno si ripete per tutti i sei impulsi larghi fino all'intervento dell'impulso orizzontale egualizzatore 8. Durante l'impulso verticale (suddiviso in 6 larghi) la tensione alle armature del condensatore è andata quindi complessivamente aumentando con legge grossolanamente esponenziale, presentando delle discontinuità dovute alle suddivisioni dell'impulso di quadro. L'egualizzatore 8' comunica ancora una piccola carica al condensatore per la durata di  $2,55 \mu\text{S}$ ; successivamente ha luogo una scarica che, protrandosi per  $29,2 \mu\text{S}$ , riduce la tensione a circa il 70% del suo valore nell'istante in cui è cessato l'impulso 8'. Durante il periodo occupato dai rimanenti impulsi egualizzatori 9, 9', 10, 10' e 11 la carica del condensatore diminuisce sensibilmente in corrispondenza degli intervalli tra gli impulsi, mentre aumenta in modo trascurabile per la presenza di questi ultimi.

Il primo impulso orizzontale regolare 12 dopo gli egualizzatori, in fig. 20, è preceduto da una scarica lunga  $63,5 \mu\text{S}$  corrispondente ad un intero periodo di linea, nel quale tempo la tensione  $v_c$  si porta ad un valore che si approssima a quello iniziale al tempo dell'impulso 1; tale valore sarà rapidamente raggiunto dopo poche linee, prima che sia ultimato il periodo di soppressione verticale.

Riassumendo: gli impulsi di linea ed egualizzatori sono praticamente senza effetto sul circuito integratore, in quanto la tensione  $v_c$  di uscita dovuta ad essi è trascurabile e in ogni caso assolutamente insufficiente a pilotare il generatore di deviazione verticale. Il circuito integratore è invece sensibile all'azione degli

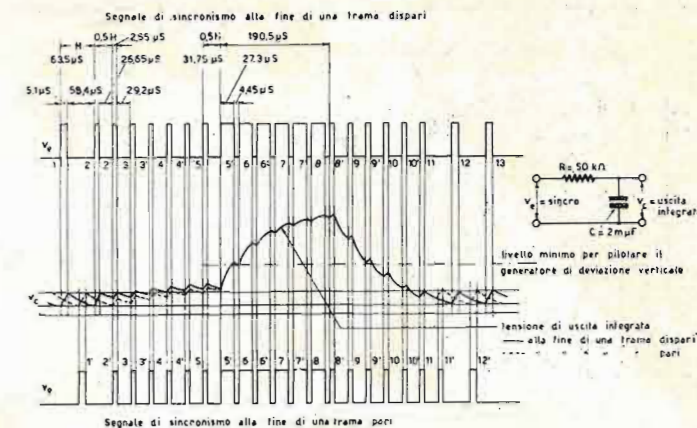


Fig. 20 - Separazione della forma d'onda della tensione  $V_c$  per la sincronizzazione verticale, in presenza di impulsi egualizzatori, per mezzo di un circuito integratore con costante di tempo uguale a  $100 \mu\text{S}$ .

(N. d. R.) La numerazione delle figure e delle formule continua quella dei precedenti articoli ai quali si rinvia il Lettore per ogni e qualsiasi riferimento. Gli articoli suddetti sono apparsi nei seguenti fascicoli della Rivista:  
parte prima: XXII - 9 - Settembre 1950 - pagg. 189 e segg.;  
parte seconda: XXII - 10 - Ottobre 1950 - pagg. 213 e segg.;  
parte terza: XXII - 11 - Novembre 1950 - pagg. 237 e segg.;  
parte quarta: XXII - 12 - Dicembre 1950 - pagg. 261 e segg.;  
parte quinta: XXIII - 2 Febbraio 1951 - pagg. 25 e segg.;  
parte sesta: XXIII - 3 Marzo 1951 - pagg. 45 e segg.

(\*) Il paragrafo precedente, dal titolo: « b) Proprietà della sincronizzazione orizzontale », è apparso a partire dal fascicolo XXII - 11 Novembre 1950 - pag. 240.









e teorico ai confini della scienza medica, potrà rivoluzionare a fondo tutte le teorie e la pratica della medicina, apportando un ordine scientifico ad un complesso di cognizioni che molto spesso si è dimostrato empirico.

Nonostante però le vaste cognizioni scientifiche attualmente acquisite, esistono ancora nuove vie di ricerca promettenti soprattutto per l'industria. La scienza degli ultrasuoni, ad esempio, e la pratica applicazione dell'energia sonora sono state finora appena sfiorate. È noto che una determinata frequenza sonora può essere impiegata per disperdere le particelle grasse del latte e diffonderle nella massa del liquido allo scopo di renderlo uniformemente cremoso: un'onda ultrasonora invece, provoca il raggruppamento di tali particelle, dando così luogo ad un fenomeno opposto al precedente. L'energia sonora può essere inoltre impiegata per far precipitare determinate sostanze esistenti nei liquidi o gas offrendo così la possibilità di purificare sia gli uni che gli altri. Impiegando l'energia sonora è possibile disperdere la nebbia e migliorare infine la carburazione dei motori a scoppio.

Il suono è già stato impiegato come strumento chirurgico per provocare la distruzione dei tessuti, ma esistono per contro delle possibilità di poterlo impiegare per stimolare la formazione di certi tessuti ed organismi. L'uso degli ultrasuoni è già entrato nell'industria metallurgica per la preparazione di leghe, per la rimozione dei gas nei metalli fusi e per accelerare i processi chimici.

Anche le altissime pressioni costituiscono un campo completamente aperto alle ricerche e le affascinanti possibilità del radar, della televisione e dell'energia nucleare apporteranno sicuramente nuovi prodotti, procedimenti e strumenti a nuove industrie di grande valore economico.

L'intensificarsi infine degli scambi di tecnici fra l'Europa e gli Stati Uniti — già sperimentati con successo nell'ambito del Piano Marshall — contribuiranno indubbiamente ad apportare nuove formule e nuovi orientamenti al progresso scientifico moderno.

Il lavoro in comune e la libera invenzione, accresceranno così l'interdipendenza tra i Popoli e da un libero scambio di idee e di merci scaturirà una nuova economia di stati pacifici basata sul principio e l'impegno di dare agli uomini di tutto il mondo una vita più lunga e migliore.

Ed anche questo sarà un miracolo della scienza moderna!

## WALKIE - TALKIE LILLIPUZIANO

LA RADIO Corporation of America ha approvato di recente un nuovo modello di walkie-talkie per collegamenti tattici che, pur avendo un volume complessivo pari alla metà di quello dei tipi in uso durante l'ultima guerra, è dotato di una portata doppia. Le parti componenti questa ricetrasmittente lillipuziana comprendono valvole termoioniche più piccole d'un mozzicone di sigaretta, resistenze di uno spessore non superiore a quello della capocchia di un fiammifero e trasformatori del diametro di circa mezzo centimetro. Nel complesso l'apparecchio non pesa più di dodici chili, in confronto ai venticinque dei modelli in uso.

# SISTEMA ECONOMICO PER TRASFORMARE UN NORMALE OHMMETRO IN UN VOLTMETRO ELETTRONICO

RAOUL TARADEL e SERGIO ROSELLI

### GENERALITÀ

Questa nostra realizzazione vuole essere un utile strumento che sfruttando un comune ohmmetro, possa permettere a diletanti e tecnici di procurarsi con mezzi che quasi diremo di fortuna un efficiente voltmetro elettronico indispensabile per tutti coloro che per studio o professione si dedicano alla tecnica elettronica.

La lettura delle tensioni si possono fare delle tabelle di taratura prendendo come riferimento una qualsiasi scala già esistente; oppure un metodo più pratico adottato da noi è quello di disegnare la nuova scala su un pezzo di celluloido appositamente tagliato in modo da poter essere applicato sul vetro dello strumento. In tal caso sarà opportuno usare l'accorgimento di rita-

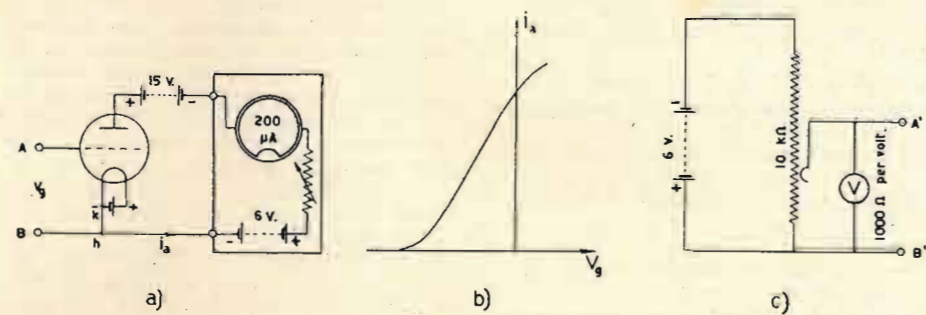


Fig. 1

Nonostante la semplicità di questo adattatore le possibilità che esso offre sono le stesse di quelle di apparecchiature più costose ed ingombranti. La stabilità dello strumento è notevole grazie alla alimentazione a batterie che, del resto, è realizzata nella maniera meno dispendiosa possibile, sfruttando a tal fine anche la batteria già esistente nell'ohmmetro. Com'è facile rilevare dallo schema di principio (fig. 1 a.) la messa a zero del voltmetro si ottiene sfruttando il reostato di azzeramento già incluso nell'ohmmetro. Si viene quindi ad ottenere dalla utilizzazione di tale strumento il milliamperometro, la regolazione di zero e parte della batteria anodica. Per

gliare tale pezzo in modo che, pur essendo facilmente rimovibile, una volta collocato nel suo alloggiamento non si possa spostare: questo per evitare che tali spostamenti portino a letture errate. Il nostro adattatore è stato fatto per un strumento « SUPREME mod. 542 » come si può rilevare dalle foto.

Abbiamo pensato di riferirci a questo strumento dato che lo avevamo disponibile e che, del resto, è molto diffuso; ma ciò non toglie che con facili prove si possano determinare i valori, pur lasciando immutato lo schema, anche per un qualsiasi altro tipo di ohmmetro. Indicheremo più avanti quali siano le operazioni da fare per

la determinazione di detti valori.

Il principio di funzionamento di questo voltmetro elettronico a c.c., si basa sul potere amplificatore del triodo. Con riferimento alla fig. 1 a posta la griglia a potenziale zero, si regola il reostato in modo che la corrente anodica assuma il valore necessario per mandare fondo scala lo strumento indicatore. Si supponga nota la caratteristica: corrente anodica in funzione della tensione di griglia (vedi fig. 1 b). Allora, applicando una tensione negativa alla griglia, tale che non raggiunga il potenziale d'interdizione, la diminuzione della corrente anodica indicherà, come si può rilevare dalla suddetta caratteristica, il valore della tensione applicata.

La corrente assorbita durante la misura è praticamente nulla essendo la griglia negativa rispetto al catodo.

In realtà se si monta il voltmetro elet-

tronico secondo lo schema di principio indicato, ci si trova davanti ad un notevole inconveniente. Il catodo incandescente emette elettroni, i quali, espulsi con velocità considerevoli ed accelerati dalla placca, vanno in parte a depositarsi sulla griglia alla quale conferiscono un potenziale negativo rispetto al catodo dell'ordine di 1 volt; dipendente principalmente dalle caratteristiche geometriche della valvola, dalla temperatura del catodo e dalla costituzione chimica degli elettrodi. In altre parole ponendo in funzione il circuito di fig. 1 a i terminali di griglia e catodo si comportano come gli estremi negativo e positivo di una pila; inserendo fra gri-

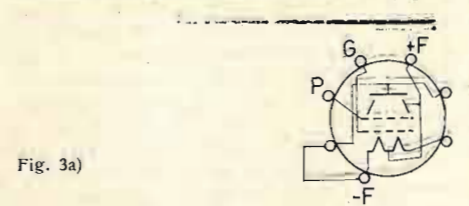


Fig. 3a)

gla e catodo un milliamperometro questo accusa effettivamente un passaggio di corrente diretto dal catodo alla griglia. È chiaro che questo inconveniente altera le condizioni del circuito sotto misura, prin-

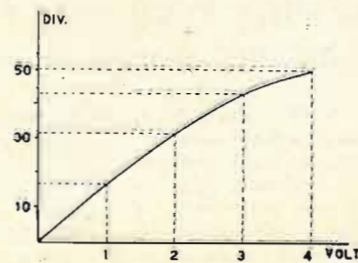


Fig. 2

cipalmente quando le tensioni da misurare sono dello stesso ordine di quella che si manifesta sulla griglia aperta. Per eliminare tale inconveniente occorrerà, una volta scelto il tubo da usarsi, determinare il valore di tale tensione disturbatrice e poi

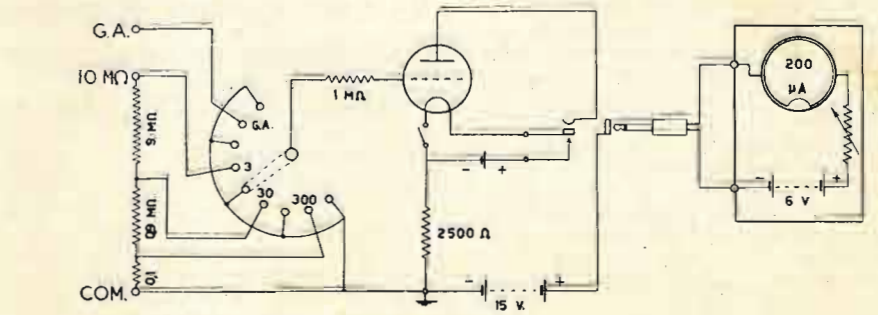


Fig. 3b)

inscrivere nel circuito di griglia una sorgente di tensione uguale e contrario.

Diamo qui di seguito dei suggerimenti per il progetto dello schema pratico; (scelta del tubo; determinazione della tensione sulla griglia isolata ed eliminazione di tale inconveniente; taratura).

a) Nella scelta del tubo, essendo l'alimentazione a batterie, ci si lascerà guidare innanzi tutto da un criterio di accensione; superficie catodica assai estesa per raggiungere con pochi volt di tensione anodica la corrente di fondo scala dello strumento indicatore. Buoni risultati si ottengono con una 3A4 collegata a triodo come indicato in fig. 3 a cioè utilizzando la griglia scher-

semplicissimo metodo di confronto:

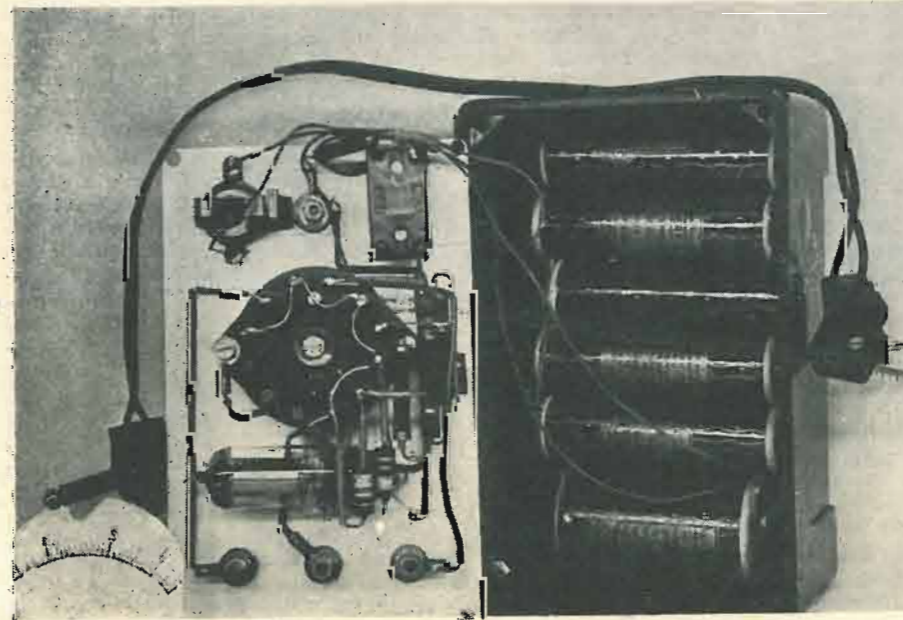
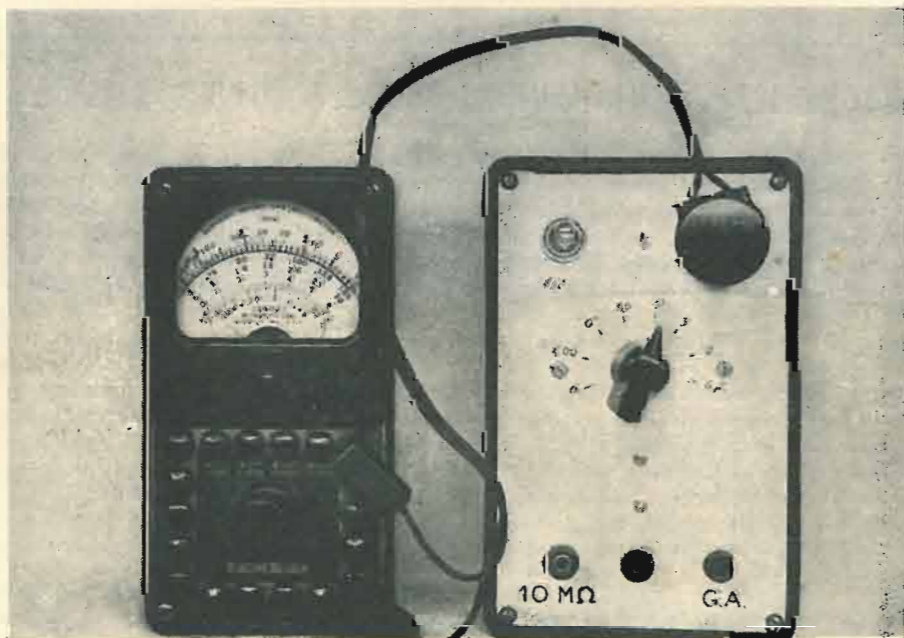
Si ponga la griglia in contatto col catodo (negativo della accensione) e mediante il reostato presente nell'ohmetro si porti l'indice dello strumento in fondo scala, quindi si lasci la griglia aperta. Accadrà allora che essa, caricandosi negativamente, procura una diminuzione del flusso della corrente anodica, ed effettivamente l'indice dello strumento accuserà una diminuzione di corrente. Si prenda nota della nuova posizione dell'indice, quindi, mediante la disposizione potenziometrica indicata in figura 1-3 (con i rispettivi valori), collegando A con A' e B con B' e regolando il cursore, si riporti l'indice nella posizione precedentemente annotata. Il voltmetro V indicherà allora il potenziale ricercato.

Per neutralizzare la tensione che la griglia assume spontaneamente, occorre inserire in serie il circuito di griglia una sorgente di tensione uguale e contraria. Ciò può ottenersi con una caduta catodica. La resistenza  $R_k$  da inserirsi sul catodo di può calcolare con la legge di Ohm:

$$R_k = \frac{V_g}{I_{a_0}} \cdot 10^3$$

Essendo  $V_g$  la tensione della griglia isolata precedentemente misurata (in volt) e  $I_{a_0}$  la corrente di fondo scala dello strumento (in milliampere).

c) Stabilito il valore di tale resistenza e inserita in luogo del contatto diretto tra i punti H e K come risulta dallo schema di figura 3-b, si procederà alla taratura del voltmetro elettronico utilizzando, per esempio, la stessa disposizione potenziometrica indicata in figura 1-c. Si potranno riportare su di un grafico la posizione dell'indice in funzione della tensione applicata, ovvero come si è già detto, si potrà disegnare la scala del voltmetro

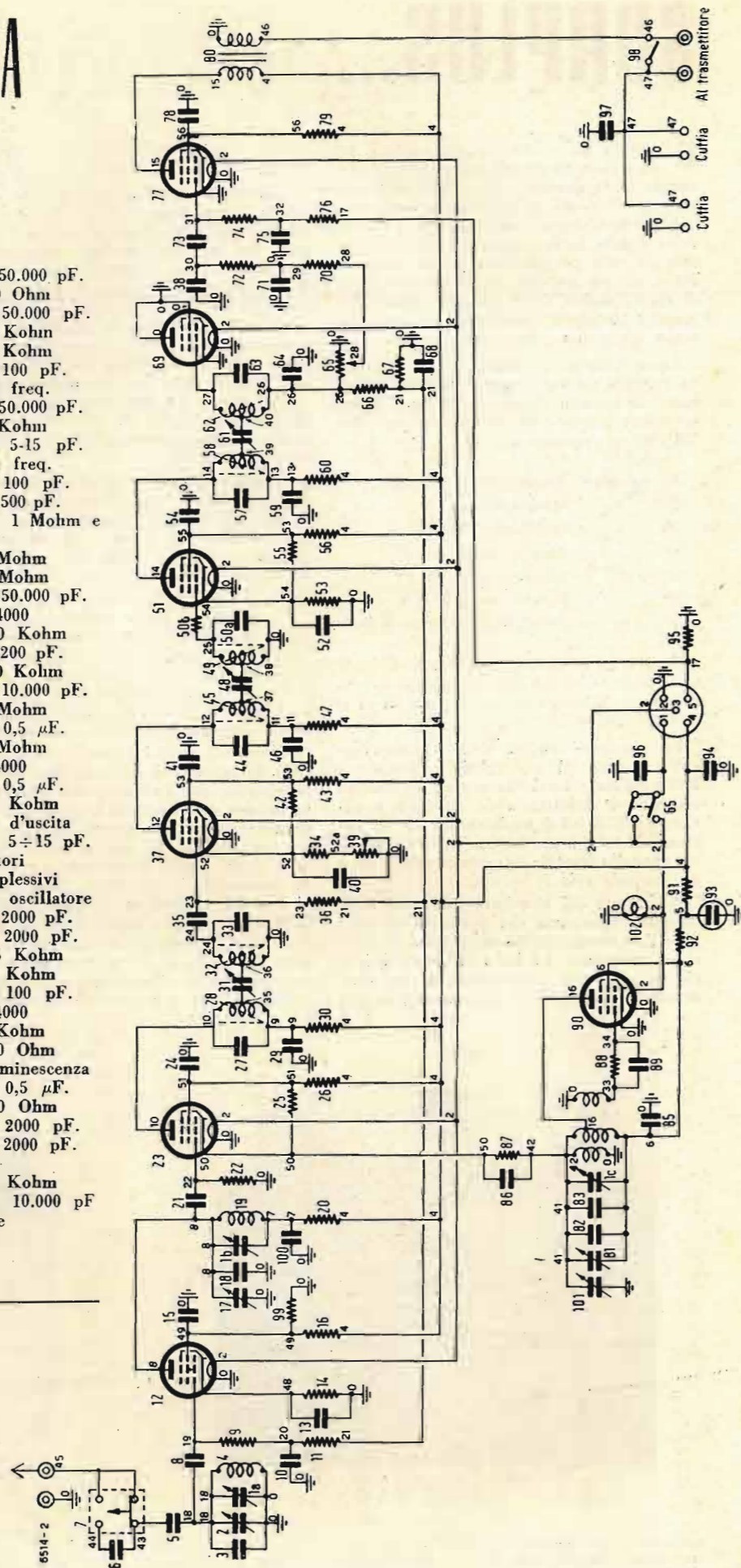






# DISTINTA ELETTRICA RICEVITORI

- |                                    |                                       |
|------------------------------------|---------------------------------------|
| 1) a) b) c) Condensatore variabile | 52) Condensatore 50.000 pF.           |
| 2) Compensatore 5-15 pF.           | 53) Resistenza 500 Ohm                |
| 3) Condensatore 15 pF.             | 54) Condensatore 50.000 pF.           |
| 4) Bobina stadio ingresso          | 55) Resistenza 50 Kohm                |
| 5) Condensatore 4,5 pF.            | 56) Resistenza 15 Kohm                |
| 6) Condensatore 50 pF.             | 57) Condensatore 100 pF.              |
| 7) Commutatore d'antenna           | 58) Bobina media freq.                |
| 8) Condensatore 100 pF.            | 59) Condensatore 50.000 pF.           |
| 9) Resistenza 1 Mohm               | 60) Resistenza 1 Kohm                 |
| 10) Condensatore 2000 pF.          | 61) Compensatore 5-15 pF.             |
| 11) Resistenza 100 Kohm            | 62) Bobina media freq.                |
| 12) Tubo RV12P4000                 | 63) Condensatore 100 pF.              |
| 13) Condensatore 1000 pF.          | 64) Condensatore 500 pF.              |
| 14) Resistenza 500 Ohm             | 65) Potenziometro 1 Mohm e interrutt. |
| 15) Condensatore 50.000 pF.        | 66) Resistenza 1 Mohm                 |
| 16) Resistenza 50 Kohm             | 67) Resistenza 1 Mohm                 |
| 17) Compensatore 5-15 pF.          | 68) Condensatore 50.000 pF.           |
| 18) Condensatore 5 pF.             | 69) Tubo HV12P4000                    |
| 19) Bobina stadio A.F.             | 70) Resistenza 300 Kohm               |
| 20) Resistenza 1 Kohm              | 71) Condensatore 200 pF.              |
| 21) Condensatore 100 pF.           | 72) Resistenza 300 Kohm               |
| 22) Resistenza 1 Mohm              | 73) Condensatore 10.000 pF.           |
| 23) Tubo RV12P4000                 | 74) Resistenza 1 Mohm                 |
| 24) Condensatore 50.000 pF.        | 75) Condensatore 0,5 $\mu$ F.         |
| 25) Resistenza 30 Kohm             | 76) Resistenza 1 Mohm                 |
| 26) Resistenza 30 Kohm             | 77) Tubo RV12P4000                    |
| 27) Condensatore 100 pF.           | 78) Condensatore 0,5 $\mu$ F.         |
| 28) Bobina media freq.             | 79) Resistenza 50 Kohm                |
| 29) Condensatore 10.000 pF.        | 80) Trasformatore d'uscita            |
| 30) Resistenza 1 Kohm              | 81) Compensatore 5-15 pF.             |
| 31) Compensatore 5-15 pF.          | 82) 2 Condensatori                    |
| 32) Bobina media freq.             | 83) 10 pF. complessivi                |
| 33) Condensatore 5 pF.             | 84) Bobina stadio oscillatore         |
| 34) Resistenza 150 Ohm             | 85) Condensatore 2000 pF.             |
| 35) Condensatore 100 pF.           | 86) Condensatore 2000 pF.             |
| 36) Resistenza 1 Mohm              | 87) Resistenza 1,5 Kohm               |
| 37) Tubo RV12P4000                 | 88) Resistenza 50 Kohm                |
| 38) Condensatore 200 pF.           | 89) Condensatore 100 pF.              |
| 39) Potenziometro 2000 Ohm         | 90) Tubo RV12P4000                    |
| 40) Condensatore 50.000 pF.        | 91) Resistenza 8 Kohm                 |
| 41) Condensatore 50.000 pF.        | 92) Resistenza 100 Ohm                |
| 42) Resistenza 50 Kohm             | 93) Lampada a luminescenza            |
| 43) Resistenza 15 Kohm             | 94) Condensatore 0,5 $\mu$ F.         |
| 44) Condensatore 100 pF.           | 95) Resistenza 100 Ohm                |
| 45) Bobina di media freq.          | 96) Condensatore 2000 pF.             |
| 46) Condensatore 50.000 pF.        | 97) Condensatore 2000 pF.             |
| 47) Resistenza 1 Kohm              | 98) Interruttore                      |
| 48) Compensatore 5-15 pF.          | 99) Resistenza 50 Kohm                |
| 49) Bobina di media freq.          | 100) Condensatore 10.000 pF.          |
| 50) Condensatore 100 pF.           | 101) Compensatore                     |
| 51) Tubo RV12P4000                 | 102) Lampadina                        |



Chi non riterrà conveniente seguire questo metodo (sperimentato e con successo) potrà prelevare il segnale di media frequenza sull'ultimo accordo tramite un piccolo condensatore (1-5 pF) per non disintonizzare il circuito oscillante e portarlo quindi all'antenna del secondo ricevitore che naturalmente dovrà essere sintonizzato in permanenza su 3030 kHz.

RB

# IL GENERATORE SUPREME 561

a cura di iJK

## Caratteristiche

**Bassa frequenza:**  
gamma 30-15.000 Hz (1 sola gamma);  
impedenze di uscita simmetriche e dis-simmetriche: 50-500-5.000-50.000 ohm;  
uscita max. su 5.000 ohm: 15 V;  
distorsione totale circa 3%.

**Alta frequenza:**  
5 bande da 65 kHz a 20,5 MHz;  
4 scatti di sensibilità:  $\times 1$ ,  $\times 10$ ,  $\times 100$ ,  $\times 1000$ ;  
lettura diretta della percentuale di modulazione regolabile con continuità dal 10 al 70%;  
frequenza di modulazione variabile con continuità da 30 a 15.000 Hz;  
wobblatore incorporato a deviazione di frequenza fissa ( $\pm 25$  kHz) comandato dalla frequenza rete.

## Alimentazione:

110 V - 60 Hz.  
Tubi impiegati n. 9:  
3) 6SK7; 2) 6C5; 2) 6F8; 1) 6V6 Metal;  
1) 6Z4.

## Premessa

Presentiamo una realizzazione americana che se non si può considerare come una novità presenta un indubbio interesse per il radioamatore.

Senza dubbio il fatto di riunire insieme in un'unica esecuzione due o più tipi di generatori non dà affidamento sulla buona riuscita di uno strumento professionale; presenta invece degli innegabili vantaggi per chi desidera realizzare uno strumento di grande serie per il radioamatore ed il radiori-paratore in particolare.

E' infatti possibile curare con una combinazione come quella che presentiamo, i criteri di:

- praticità;
- compattezza;
- costo ridotto

che hanno una certa importanza per questa categoria di tecnici.

In particolare notiamo nel Supreme 561 il comando a pulsante per l'inserzione dell'impedenza di bassa frequenza, per l'inser-

zione dell'attenuazione di alta frequenza e per la scelta delle bande da 65 kHz a 20,5 MHz che risultano leggibili su due sole scale, di modo che le frequenze restano così distribuite:

- da 65 a 205 kHz
- da 205 a 650 kHz
- da 650 a 2050 kHz
- da 2,05 a 6,5 MHz
- da 6,5 a 20,5 MHz

La costruzione di larga serie ha permesso di produrre organi speciali come il commutatore centrale che nella posizione off. interrompe il circuito di alimentazione e il doppio deviatore che scattando nella posizione di riposo del potenziometro di comando della bassa frequenza permette la commutazione dello strumento centrale di pannello (0,5 mA) dalla lettura della tensione a RF a quella di BF.

Lo schema elettrico se per alcuni punti può sembrare sorpassato, presenta non di meno un certo interesse al punto che vale la pena di considerarlo nei vari elementi che lo compongono.









relativamente semplice, ma che richiede un montaggio meccanico molto accurato.

Varrà piuttosto la pena di realizzare sì il generatore combinato alta-bassa freq. ma di eseguire a parte in ogni caso il montaggio di un wobblatore. Il generatore qui descritto raggiunge le seguenti percentuali di distorsione: 5% sulle basse frequenze (30-100 Hz) ed il 3% circa sulle alte frequenze acustiche 100÷10.000 Hz. Sarà difficile ad un buon radioamatore raggiungere in ogni caso il 5% a meno che non disponga di un ferro veramente buono, come quello di cui è provvisto il trasformatore di bassa freq. del nostro Suprême.

In ogni caso a chi volesse cimentarsi buona fortuna!

## pubblicazioni ricevute

**A. E. Greenlees: AMPLIFICATION Y DISTRIBUTION DEL SONIDO.** Traduzione dell'edizione inglese « The Amplification and Distribution of Sound ». Edito dalla Editorial Reverté, S. A., Barcellona. Di pagine 296 con 82 illustrazioni e diverse tabelle, formato 110x150 mm, rilegato in tela con sovraccoperta a colori. Prezzo 40 Ptas. Distributore generale per l'Italia Sig. Mario Maserati, Corso Vittorio Emanuele 72, Piacenza.

E' un manuale pratico destinato ai tecnici e ai montatori. Tratta degli impianti di amplificazione e del loro funzionamento, della riproduzione delle registrazioni sonore, della installazione delle varie apparecchiature elettroacustiche: centralini, linee di distribuzione, altoparlanti.

**CONSIGLIO NAZIONALE DELLE RICERCHE, COMITATO ELETTROTECNICO: UNIFICAZIONE ELETTROTECNICA.** Progetto UNEL Pr 231, in data Febbraio 1951: Apparecchi radiorecettori per autovetture.

In relazione a quanto convenuto nella riunione della Commissione RADIO del

1° febbraio 1950, in merito all'unificazione dimensionale degli apparecchi radiorecettori per autovetture, la Segreteria dell'UNEL, di concerto con il Relatore Ing. Almerico Saitz, ha invitato la CUNA a far conoscere il parere dei costruttori di autoveicoli sulla possibilità di sistemazione, a bordo delle vetture, di apparecchi radiorecettori di produzione italiana.

Infatti nella riunione CUNA del 28 marzo 1950 i rappresentanti dei fabbricanti radio proposero di addivenire alla unificazione delle dimensioni minime del vano del cruscotto destinato al montaggio del gruppo a RF. A questi effetti, essi invitarono i costruttori di autoveicoli a voler concedere all'applicazione dell'apparecchio radio il massimo spazio disponibile ritenendo opportuno che siano previsti sistemi unificati di montaggio, viti di fissaggio, staffe, onde poter realizzare la facile intercambiabilità degli apparecchi radio di provenienza diversa.

Sempre nella riunione predetta i costruttori di autoveicoli fecero presente l'opportunità di considerare nell'unificazione due esecuzioni di radiorecettori e precisamente:

1) per autovetture di nuova costruzione, cioè per quelle vetture in cui in sede di progettazione è stato previsto il montaggio del radiorecettore;

2) Per autovetture di produzione attuale, cioè per quelle vetture in cui non era stato previsto il montaggio del radiorecettore.

Sulla base delle successive indicazioni fornite dai costruttori di autoveicoli il relatore Ing. A. Saitz, nell'ambito della segreteria dell'UNEL, ha predisposto la tabella UNEL Pr 231, che sottoposta allo esame della Commissione di studio nella riunione del 27 giugno 1950, fu licenziata per essere inoltrata alla Commissione centrale di Unificazione per la conseguente approvazione e pubblicazione dell'inchiesta. La Commissione Centrale di Unificazione, nella riunione del 30 Novembre 1950, dopo aver esaminato il progetto e

la relativa nota illustrativa ne deliberò, avvalendosi della facoltà concessa dall'articolo 4 del Regolamento per il funzionamento dell'UNEL, la pubblicazione alla inchiesta.

Il progetto allegato contempla due soluzioni di apparecchi radiorecettori: una per vetture in cui in sede di progettazione è stato previsto il montaggio del radiorecettore ed una per le vetture in cui non era stato previsto il montaggio del radiorecettore.

Nella esecuzione A si possono prevedere le soluzioni:

a) gruppo RF su cruscotto; altoparlante ed alimentatore separati;

b) gruppo RF e altoparlante su cruscotto e alimentatore separato;

c) gruppo RF, altoparlante e alimentatore conglobati in un complesso unico; ottenuto sistemando l'altoparlante e l'alimentatore a fianco del gruppo RF, con dimensioni massime uguali alla somma delle dimensioni previste per i singoli componenti.

Nella esecuzione B è stato previsto il gruppo RF da applicare al cruscotto e, separatamente, altoparlante e alimentatore conglobati.

Le dimensioni indicate nel progetto per le due esecuzioni, rappresentano, oltre che il vano minimo, di cui dispongono i costruttori di autovetture per l'alloggiamento degli apparecchi in questione, anche il massimo ingombro degli apparecchi costruiti in Italia.

Il termine utile per la presa in considerazione delle osservazioni scade il 15 maggio 1951.

## piccoli annunci

Gli abbonati hanno diritto alla pubblicazione gratuita di un annuncio (massimo 15 parole) all'anno.

**RADIO.** Giovane disponendo buona attrezzatura eseguirebbe lavori montaggio. Miti pretese, scrivere presso l'antenna.

## N. CALLEGARI **RADIOTECNICA PER IL LABORATORIO**

TRATTAZIONE ORGANICA DELLE NOZIONI NECESSARIE ALLA PROGETTAZIONE E AL CALCOLO DEI CIRCUITI RADIOELETTRICI E DEGLI ORGANI RELATIVI

Questa opera, di 368 pagine, con 198 illustrazioni costituisce uno degli sforzi più seri di coordinazione e di snellimento della materia radiotecnica.

L'autore, noto per lo spiccato intuito didattico ed esplicitivo in precedenti pubblicazioni quali: « Onde corte ed ultracorte » e « Valvole Riceventi », ha saputo rielaborare a fondo il complesso di nozioni teoriche e pratiche relative ai circuiti e agli organi principali e darci un'opera originale che si stacca nettamente dai metodi di trattazione sin qui seguiti e nella quale ogni argomento, trattato con senso spiccatamente realistico e concreto, appare per così dire incastonato in una solida intelaiatura didattica razionale.

L'autore si è preoccupato di non lasciare domande insolute, di arricchire lo sviluppo di ciascun argomento con un complesso di dati pratici e di grafici, in modo che sia evitata al lettore la pena di dover consultare un grande numero di libri, sovente stranieri, per trovare la risposta ad un proprio quesito.

Completano il testo un accurato riepilogo di fisica e di matematica ed una vasta raccolta di nmogrammi che consentono di risolvere praticamente in pochi minuti complessi calcoli.

Quest'opera, destinata a divenire fondamentale nella nostra letteratura radiotecnica, costituirà sempre un valido ponte per il passaggio dalla preparazione scolastica alle esigenze concrete della tecnica.

L. 1500



EDITRICE IL ROSTRO - MILANO - VIA SENATO 24

Autorizz. Trib. Milano 9-9-48 N. 464 del Registro - Dir. Resp. LEONARDO BRAMANTI - Proprietà Ed. IL ROSTRO - Tip. TIPEZ V.le Cernenate 56  
CONCESSIONARIA PER LA DISTRIBUZIONE IN ITALIA S.T.E. - CORSO SEMPIONE, 6 - MILANO

Perfezione di ricezione,

garanzia di funzionamento,

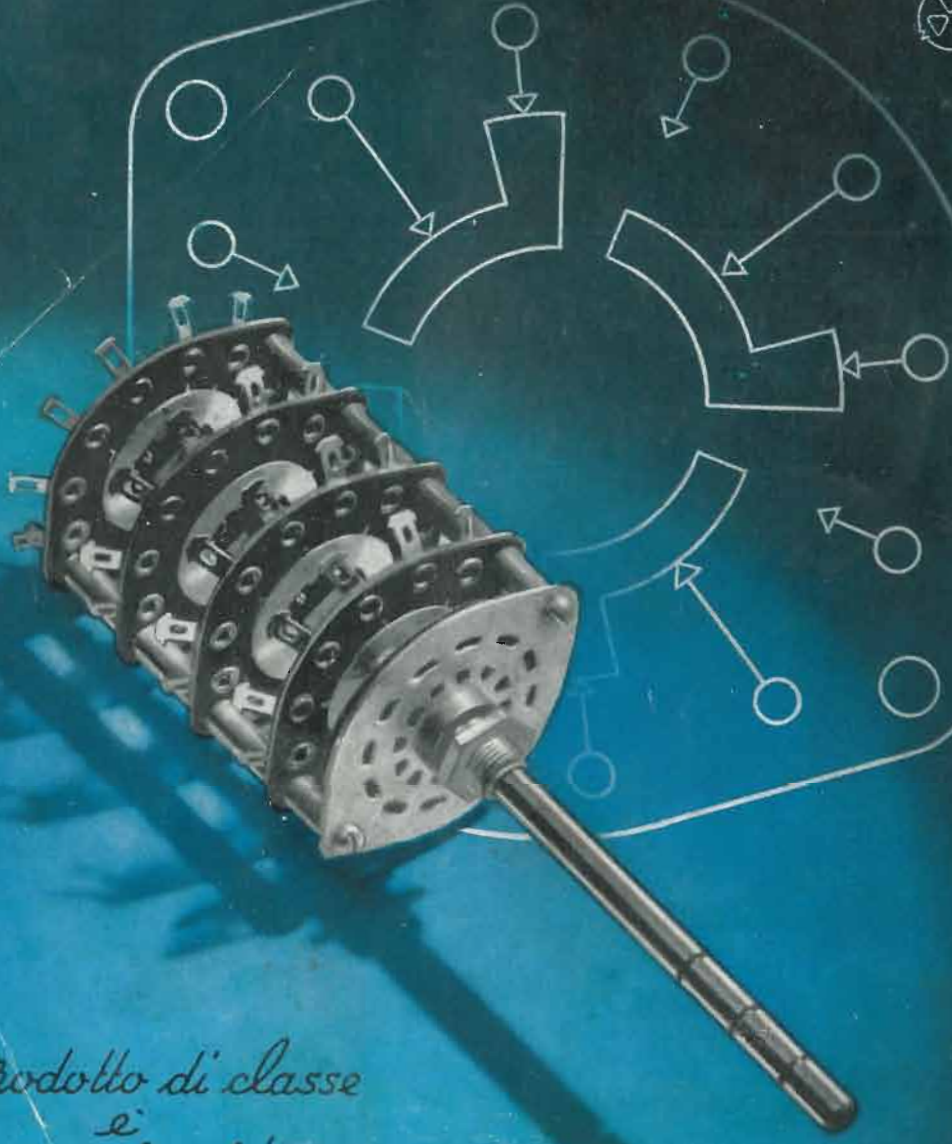
durota di esercizio,

estetica di presentazione,  
varietà di scelta in UNA qualità.

## CAVI PER RADIO E TELEVISIONE

# PIRELLI

BASSA CAPACITÀ E BASSE PERDITE PER QUALSIASI FREQUENZA



*Il prodotto di classe  
è  
una garanzia*



**LARIR** Soc. r. l. - MILANO - PIAZZA 5 GIORNATE 1 - TELEFONI 55.671 - 58.07.62